

УДК 533.6.011.8+537.533

# СТОЛКНОВИТЕЛЬНОЕ ГАШЕНИЕ СОСТОЯНИЯ $A^2\Sigma^+(v' = 2)HF^+$ АТОМАМИ He

В. Ж. Мадирбаев, А. Е. Зарвин

Новосибирский государственный университет, 630090 Новосибирск

Приведены результаты экспериментального исследования процесса гашения возбужденных состояний ионов  $HF^+$  во фтороводородно-гелиевой электронно-пучковой плазме, измерена константа скорости гашения  $A^2\Sigma^+(v' = 2)HF^+$  атомами гелия. Генерация возбужденных ионов осуществлялась путем активации разреженной газовой смеси пучком электронов, а диагностика внутренних состояний ионов — по электронно-колебательно-вращательному спектру их спонтанного излучения.

**Введение.** Процесс столкновительного гашения возбужденных состояний молекулярных ионов фактически представляет собой отдельный класс газофазных реакций. Это обусловлено в первую очередь тем, что для ионов характерно сильное электростатическое притяжение, описываемое дальнодействующей частью потенциала взаимодействия. Этот эффект при комнатной температуре газа во многом определяет протекание колебательной релаксации [1, 2]. В результате гашение молекулярных ионов происходит с высокой скоростью: почти для всех нейтральных гасителей, за исключением благородных газов и молекулярного водорода, вероятность гашения превышает  $10^{-3}$ . Кроме того, с ростом относительной кинетической энергии константа скорости гашения колебательных уровней иона убывает. Процессы гашения нейтральных молекул, в отличие от ионов, характеризуются низкой эффективностью и прямой зависимостью константы скорости гашения от температуры [3].

Выбор иона  $HF^+$  в качестве объекта исследования процессов заселения и дезактивации колебательно-вращательных уровней короткоживущего электронного состояния  $A^2\Sigma^+$  обусловлен необходимостью изучения кинетических процессов в плазме, содержащей галогеноводороды (в том числе протекающих в верхних слоях земной атмосферы), а также практической задачей разработки метода электронно-пучковой диагностики галогеноводородов [4, 5]. Кроме того, ион  $HF^+$  — одна из наиболее простых систем с водородной связью, обладающих значительным дипольным моментом.

**Экспериментальное оборудование и методика измерений.** Схема проведения экспериментов и методика электронно-пучковых измерений описаны в [6, 7]. Анализ электронно-пучковых спектров излучения смеси фтористого водорода с гелием (5 % HF + 95 % He) показал, что полоса 2–0 перехода  $A^2\Sigma^+ \rightarrow X^2\Pi, HF^+$  наиболее свободна от наложений пиков атомарных водорода и фтора, а также полос остаточного азота. На рис. 1 приведены экспериментально полученные спектры излучения, возбужденного электронным пучком в смеси HF — He при давлениях  $P = 130; 5; 2,3$  Па, и расчетный спектр при равновесной вращательной температуре иона  $T_R = 290$  К (при расчете учитывалась аппаратная функция системы регистрации спектров). В нижней части рисунка показаны положения вращательных линий иона  $HF^+$  (каждый регистрируемый пик иона состоит из нескольких неразрешенных линий).

Сравнение экспериментального и расчетного спектров позволило выделить неперекрытые пики иона  $HF^+$  (отмечены штриховкой). Соотношение интенсивностей этих пиков,

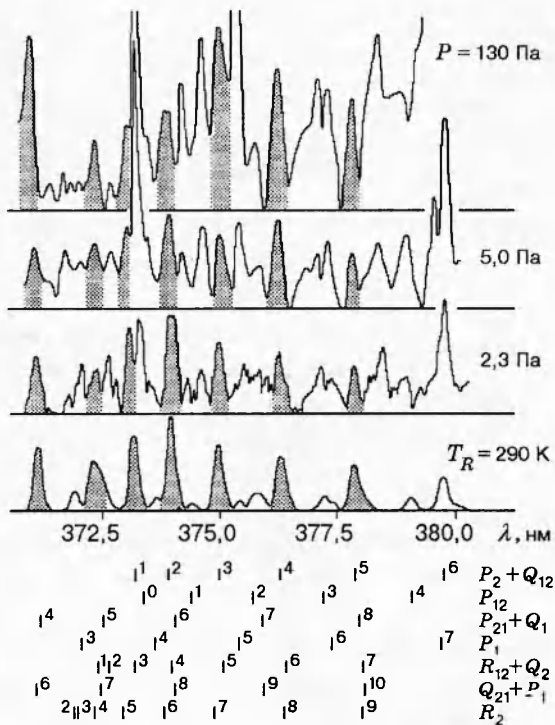


Рис. 1. Участок спектра полосы 2–0 перехода  $A^2\Sigma^+ - X^2\Pi_{\text{u}}$ HF $^+$

записанных при низком давлении, соответствует расчетному при температуре  $T_R = 290$  К (табл. 1). Из сравнения спектров на рис. 1 видно, что изменение давления приводит к нарастанию интенсивностей пиков примесей (в первую очередь второй положительной системы полос молекулярного азота) и изменению соотношения интенсивностей пиков иона фтористого водорода.

Изменение относительного вклада отдельных пиков в интенсивность полосы 2–0 иллюстрируется рис. 2, где показаны зависимости от давления интенсивностей пиков  $I_1 - I_3$ , соответствующих длинам волн:  $\lambda = 371,1$  нм ( $I_1$  — основной вклад дают линии  $4P_{21}$ ,  $4Q_1$ ,  $6Q_{21}$ ,  $6R_1$ ); 374,0 нм ( $I_2$  — линии  $2P_2$ ,  $2Q_{12}$ ) и 377,8 нм ( $I_3$  — линии  $5P_2$ ,  $5Q_{12}$ ), нормированных на интенсивность всей полосы  $I_{2-0}$ . Таким образом, с ростом давления относительно возрастают интенсивности переходов с высоколежащими уровнями, а следовательно, и их заселенности.

**Анализ результатов.** Зависимость интегральной интенсивности полосы 2–0 HF $^+$  от давления показана на рис. 3, а. На начальном участке ( $P < 10$  Па) интенсивность полосы растет линейно, а при дальнейшем возрастании давления угол наклона кривой уменьшается, что свидетельствует о наличии процессов дезактивации излучающего состояния  $A^2\Sigma^+(v' = 2)$ HF $^+$ , конкурирующих со спонтанным излучением. Эти процессы можно описать путем введения интегральной константы скорости гашения, учитывающей как собственно столкновительную дезактивацию, приводящую к уходу иона из состояния  $A^2\Sigma^+ \text{HF}^+$ , так и колебательно-вращательную релаксацию внутри возбужденного состояния. Учет гашения флюоресценции в зависимости интенсивности полосы от давления описывается соотношением Штерна — Фольмера:  $I_0/I = 1 + K_q \tau_{v'} n_0$ , где  $I$  — измеренная интенсивность полосы при некотором давлении,  $I_0$  — интенсивность полосы в отсутствие гашения,  $K_q$  — константа гашения колебательного состояния,  $\tau_{v'}$  — время его жизни,  $n_0$  — плотность газа. Для определения  $I_0$  использовалась линейная аппроксимация (пря-

Таблица 1

$\lambda$ , нм	$I/\Sigma I$	
	Эксперимент ( $P_H = 2$ Па)	Расчет ( $T_R = 290$ К)
371,1	0,13	0,14
372,5	0,12	0,11
373,2	0,17	0,17
374,0	0,21	0,21
375,0	0,15	0,15
376,3	0,12	0,12
377,8	0,10	0,10

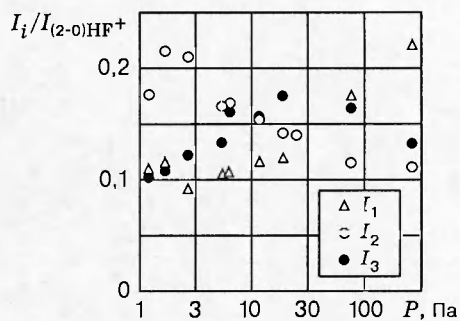


Рис. 2. Зависимости интенсивностей отдельных пиков полосы 2-0, нормированных на интенсивность всей полосы, от давления:  
 $I_1, I_2, I_3 — \lambda = 371,1; 374,0; 377,8$  нм соответственно

мая линия на рис. 3, а), построенная методом наименьших квадратов по значениям интенсивностей полосы, измеренным в условиях, когда вклад столкновительных процессов пренебрежимо мал.

Степень отклонения экспериментально измеренных интенсивностей от аппроксимирующей прямой позволила определить величину  $K_q \tau_{v'}$ . Для этого была построена зависимость Штерна — Фольмера в координатах  $(I_0/I - 1)$  от  $P$  (рис. 3, б). По линейной аппроксимации точек на рис. 3, б с использованием значения  $\tau_{v'} = 5,7$  мкс из работы [8] получено значение константы гашения состояния  $A^2\Sigma^+(v' = 2) HF^+$  атомами гелия  $K_q = 3,3 \cdot 10^{-11} \text{ см}^3/\text{с}$ . Величина константы гашения этого же состояния  $HF^+$  нейтральными молекулами фтористого водорода, измеренная в работе [8], равна  $2,85 \cdot 10^{-9} \text{ см}^3/\text{с}$ , а константы гашения основного состояния  $X^2\Pi$ , иона хлористого водорода гелием и аргоном, по данным [9], — менее  $0,3 \cdot 10^{-12} \text{ см}^3/\text{с}$  и  $3,5 \cdot 10^{-10} \text{ см}^3/\text{с}$  соответственно. Интегральные константы гашения колебательных уровней в  $A^2\Sigma^+HCl^+$  молекулами хлористого водорода приведены в [10]. Из сравнения констант (табл. 2) следует, что эффективность гашения колебательных уровней ионов как фтористого, так и хлористого водорода собственными нейтральными молекулами на два порядка выше, чем атомами гелия, при этом в обоих случаях более тяжелый ион хлористого водорода гасится на те же два порядка менее эффективно, чем ион фтористого водорода.

Из приведенных на рис. 1, 2 и аналогичных результатов следует, что рост плотности газовой смеси приводит к относительному перезаселению верхних вращательных уровней иона  $HF^+$ . Распределение интенсивностей в спектре, записанном при минимальном давлении, хорошо согласуется с расчетом, в котором вращательная температура принимается равной газокинетической. Представляет интерес определение для спектров, зарегистрированных при повышенных давлениях, вращательной температуры  $T_R$ , наиболее соответ-

Таблица 2

Ион	Гаситель	$K_q, \text{ см}^3/\text{с}$	Источник
$HF^+$	He	$33,0 \cdot 10^{-12}$	Наст. работа
$HF^+$	HF	$28,5 \cdot 10^{-10}$	[8]
$HCl^+$	He	$< 0,3 \cdot 10^{-12}$	[9]
$HCl^+$	HCl	$34,0 \cdot 10^{-12}$	[10]
$HCl^+$	Ar	$3,5 \cdot 10^{-10}$	[9]

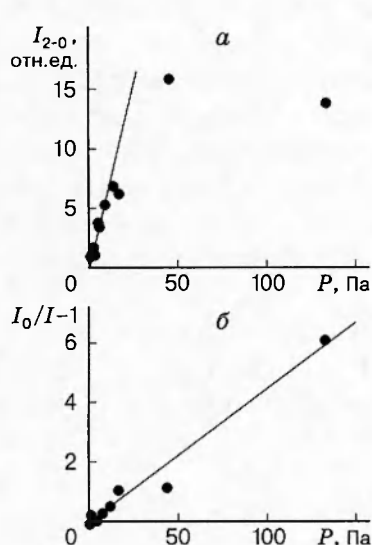


Рис. 3

Рис. 3. Зависимости интегральной интенсивности полосы 2–0  $\text{HF}^+$  от давления (а) и Штерна — Фольмера для интенсивности полосы 2–0  $\text{HF}^+$  (б)

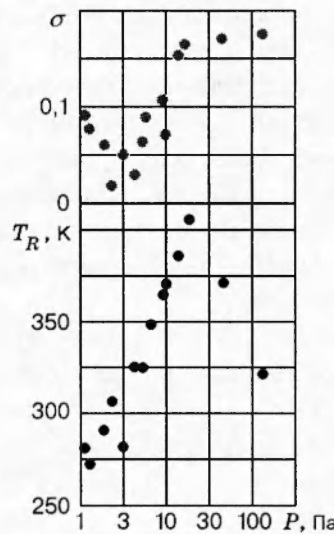


Рис. 4

Рис. 4. Зависимость вращательной температуры  $T_R$  состояния  $A^2\Sigma^+(v' = 2)\text{HF}^+$  и степени отклонения  $\sigma$  от давления смеси

ствующей данному распределению интенсивностей пиков, и степени отклонения  $\sigma$  этого распределения от равновесного. Последняя величина определялась как  $\sigma = \sum_i |I_p^i/I_e^i - 1|$ , где индексы р и э обозначают расчетную и экспериментальную интенсивность.

На рис. 4 показаны зависимости степени отклонения от равновесия  $\sigma$  (верхний график) и расчетной вращательной температуры состояния  $A^2\Sigma^+(v' = 2)\text{HF}^+$  (нижний график) от давления смеси. При увеличении плотности газовой смеси, наряду с ростом температуры, возрастает и степень неравновесности заселенности вращательных уровней излучающего состояния, так что при давлениях выше 10 Па распределение заселенности становится небольшомановским ( $\sigma > 0,1$ ). Некоторое увеличение  $\sigma$  при давлениях менее 2 Па объясняется повышением погрешности измерений, поскольку амплитуда измеряемого сигнала при этих давлениях мала и начинают сказываться шумы.

Такое поведение заселенности и вращательных температур уровней иона  $\text{HF}^+$ , отличающееся от аналогичных зависимостей для иона хлористого водорода [11], связано, по всей видимости, с тем, что вращательный квант  $\text{HF}^+$  в два раза превышает вращательный квант  $\text{HCl}^+$ . В результате экспоненциально уменьшается вероятность вращательных переходов при столкновениях, что ограничивает скорость перераспределения энергии, передаваемой во вращательные степени свободы при столкновительной релаксации колебательно-возбужденных ионов. К аналогичным выводам пришли и авторы работы [12], в которой неравновесное распределение заселенности верхних вращательных уровней возбужденных молекул водорода в низкотемпературной плазме объяснено большой величиной вращательного кванта.

**Выходы.** Показано, что при колебательной релаксации возбужденных состояний иона фтористого водорода наблюдается передача части энергии во вращательные степени свободы, что согласуется с выводами работы [13], сделанными в рамках модели изоли-

рованных бинарных столкновений. Измерена константа скорости гашения  $A^2\Sigma^+(v' = 2)$  колебательного состояния иона  $\text{HF}^+$  атомами гелия.

Результаты работы по изучению механизмов, определяющих заселенности внутренних степеней свободы иона фтористого водорода в короткоживущем электронном состоянии  $A^2\Sigma^+$ , заселяемом электронным ударом, при столкновениях возбужденных ионов с фоновым газом, могут быть использованы при моделировании газофазных процессов, протекающих в плазмохимических реакторах, верхних слоях земной атмосферы, а также при спектральных измерениях параметров среды, содержащей молекулярный фтористый водород.

Настоящая работа выполнена при финансовой поддержке Российского фонда фундаментальных исследований (код проекта 96-03-33924) и Министерства науки и технической политики РФ («Перечень уникальных научно-исследовательских и экспериментальных установок национальной значимости», № 06-06).

## ЛИТЕРАТУРА

1. Kriegl M., Richter R., Lindinger W. Vibrational exitation and quenching of  $\text{N}_2^-$  in collision with He at relative energies below 1 eV // J. Chem. Phys. 1988. V. 88, N 1. P. 213–221.
2. Shin H. K. Vibrational relaxation of hydrogen chloride molecules:  $\text{HCl}(v) + \text{HCl}(0) \rightarrow \text{HCl}(v - 1) + \text{HCl}(0)$  // Chem. Phys. Lett. 1983. V. 98, N 6. P. 566–572.
3. Heinrich P., Stuhl F. Temperature dependent quenching of  $\text{CH}(A^2\Delta)$ ,  $\text{NH}(A^3\Pi)$ ,  $\text{NH}(c^1\Pi)$ , and  $\text{PH}(A^3\Pi)$  by  $\text{H}_2$  // Chem. Phys. Lett. 1995. V. 199. P. 297–304.
4. Sekiguchi H., Honda T., Kanzawa A. Decomposition of Chlorofluorocarbons using thermal argon plasma // 10th Intern. Symp. Plasma Chemistry (ISPC-10). Germany, 1991. 1.5-2.
5. Tumanov Y. N., Ivanov A. V., Korovzev V. P., et al. Plasma conversion of silicium tetrafluoride // 10th Intern. Symp. Plasma Chemistry (ISPC-10). Germany, 1991. 1.5-1.
6. Гартвич Г. Г., Зарвин А. Е., Каляда В. В., Мадирбаев В. Ж. Использование электронно-пучковой диагностики для исследования газовых потоков фтористого водорода // ПМТФ. 1993. Т. 34, № 5. С. 150–156.
7. Гартвич Г. Г., Зарвин А. Е., Мадирбаев В. Ж. Электронно-пучковая диагностика фтористого водорода: оптическая модель и ее ограничения // ПМТФ. 1994. Т. 35, № 1. С. 151–158.
8. Van Sprang H. A., De Heer F. J. A study of the emission spectrum of HF excited by electrons // J. Chem. Phys. 1978. V. 33. P. 73–78.
9. Tichy M., Javahery G., Twiddy N. D., Ferguson E. E. The vibrational quenching of  $\text{HCl}^+(v = 1)$  and  $\text{DCl}^+(v = 1)$  by Ar and Kr // Chem. Phys. Lett. 1988. V. 144, N 2. P. 131–138.
10. Карелов Н. В., Мадирбаев В. Ж., Шарафутдинов Р. Г. Исследование электронно-колебательного спектра излучения хлористого водорода, возбужденного пучком электронов // ПМТФ. 1987. № 2. С. 3–10.
11. Мадирбаев В. Ж., Шарафутдинов Р. Г. Структура электронно-колебательно-вращательного спектра иона  $\text{HCl}^+$  в электронном пучке // ПМТФ. 1997. Т. 38, № 6. С. 10–15.
12. Barbeau C., Baravian G., Jolly J. Rotational temperature measurements in the cathode region of a low pressure DC glow discharge in hydrogen // 10th Intern. Symp. Plasma Chemistry (ISPC-10). Germany, 1991. 2.1.-39.
13. Knudtson J. T., Weitz E. Vibrational relaxation of HCl in HCl/liquid xenon mixtures // Chem. Phys. Lett. 1984. V. 104, N 1. P. 71–78.